

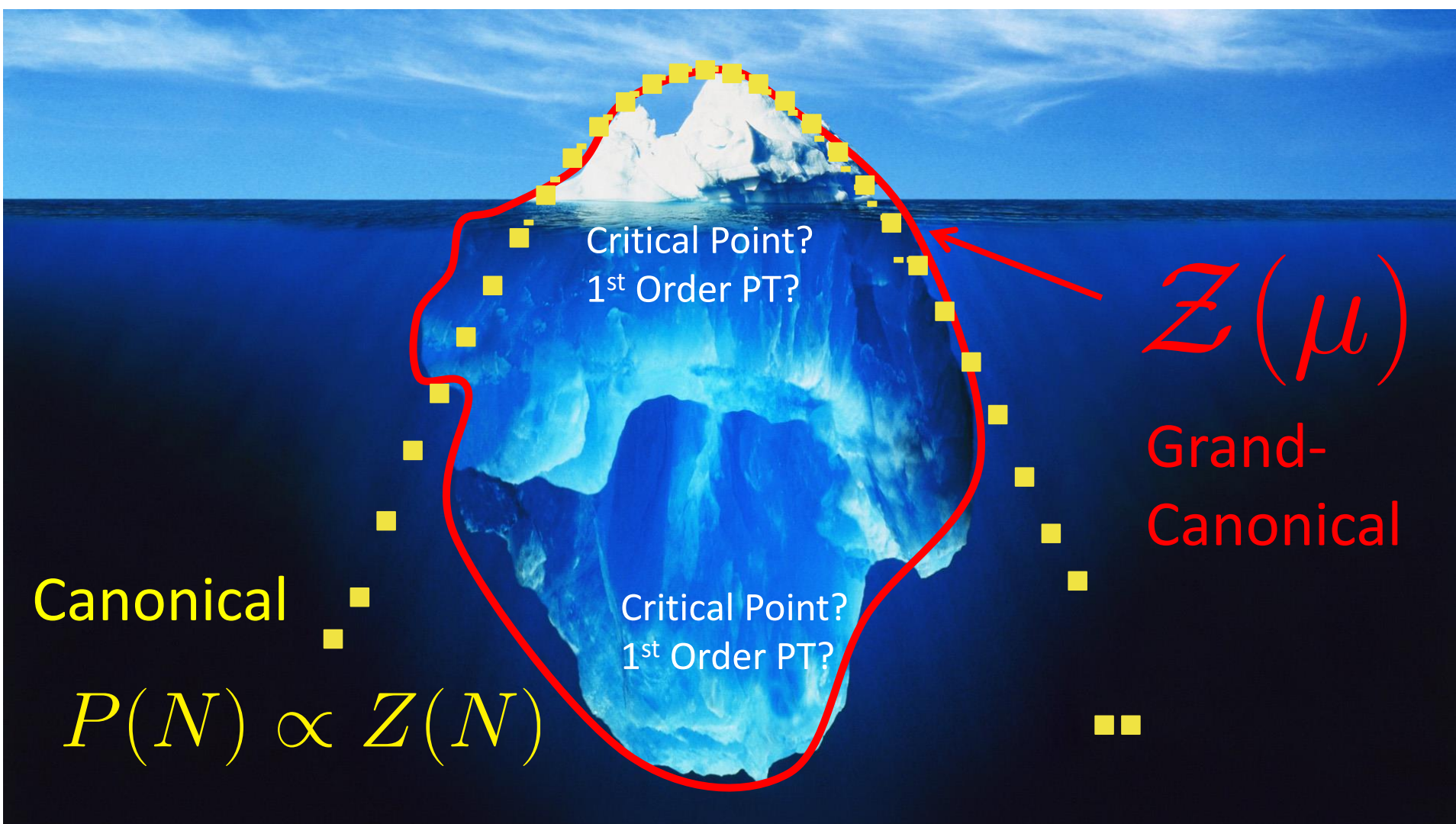
リー・ヤンゼロ点に対する フガシティー展開の打ち切り効果

京大基研 森田健司

共同研究者 中村純 (RCNP/理研)

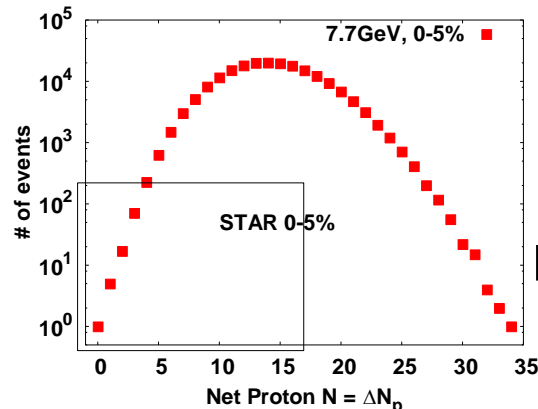
Ref) KM, Nakamura, arXiv:1505.05985

氷山の一角 ?

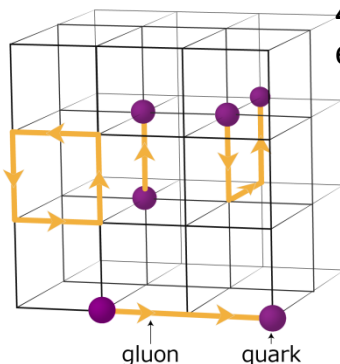


Z(N)と $\mathcal{Z}(\mu)$ と相転移

保存量多重度分布



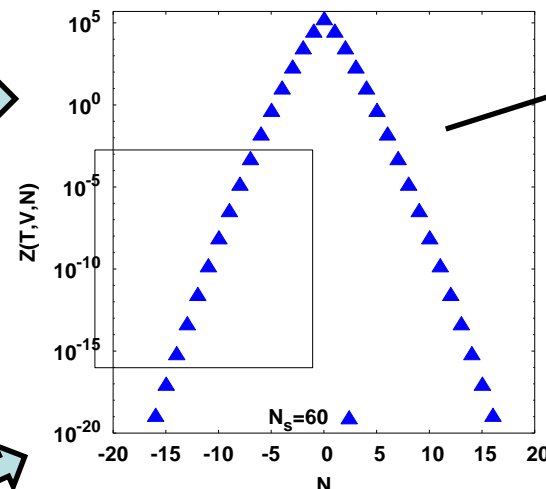
格子QCD



From jicfus.jp

Nakamura-Nagata

カノニカル分配関数 $Z(N)$



どこまで大きいNを
とれるか？

(和：可能な全てのNについて)

分配関数 $\mathcal{Z}(\mu)$

$$\mathcal{Z}(\mu) = \sum_N Z(N) \lambda^N$$

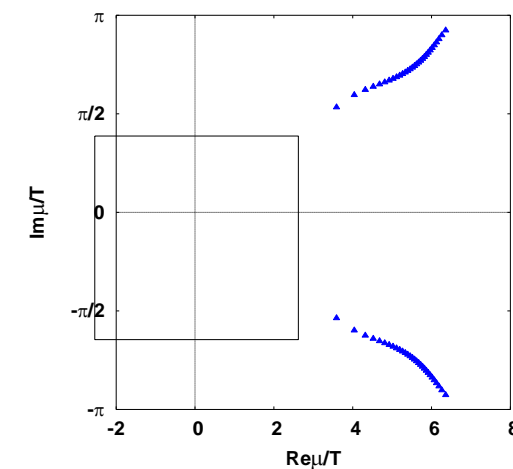
$$\lambda = e^{\mu/T}$$

熱力学量とゆらぎ

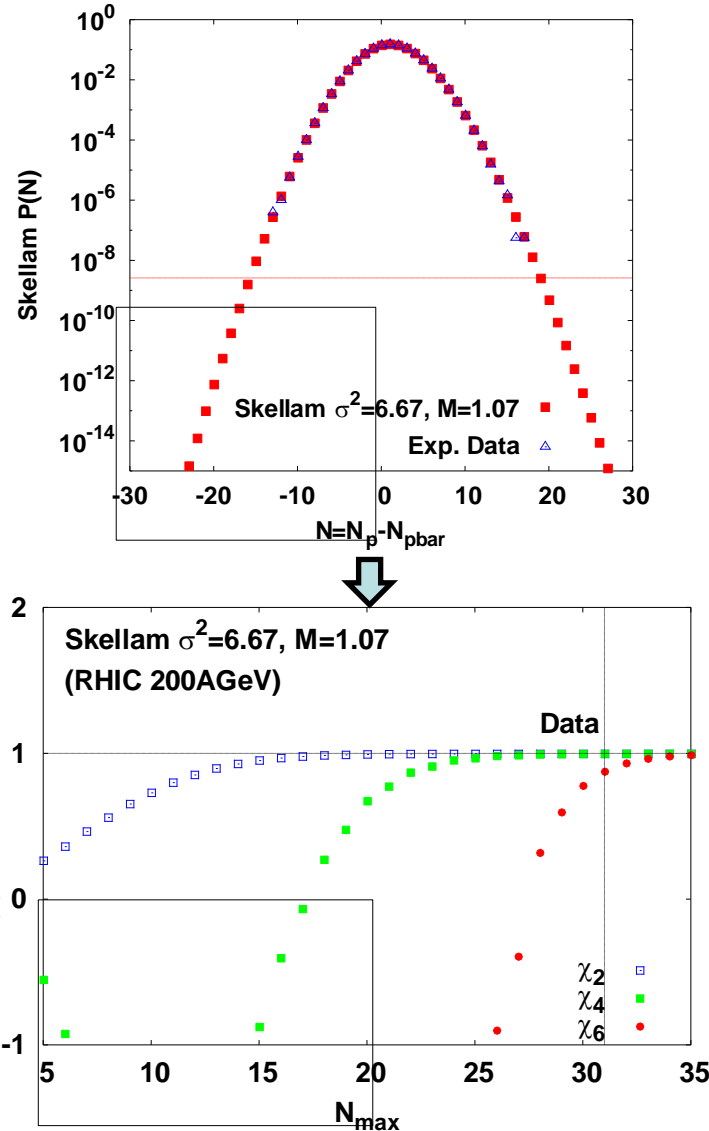
$$p(T, \mu) = -(T/V) \ln \mathcal{Z}(\mu)$$

$$\chi_\mu^n \propto \frac{\partial^n p(T, \mu)}{\partial \mu^n}$$

リー・ヤンゼロ点

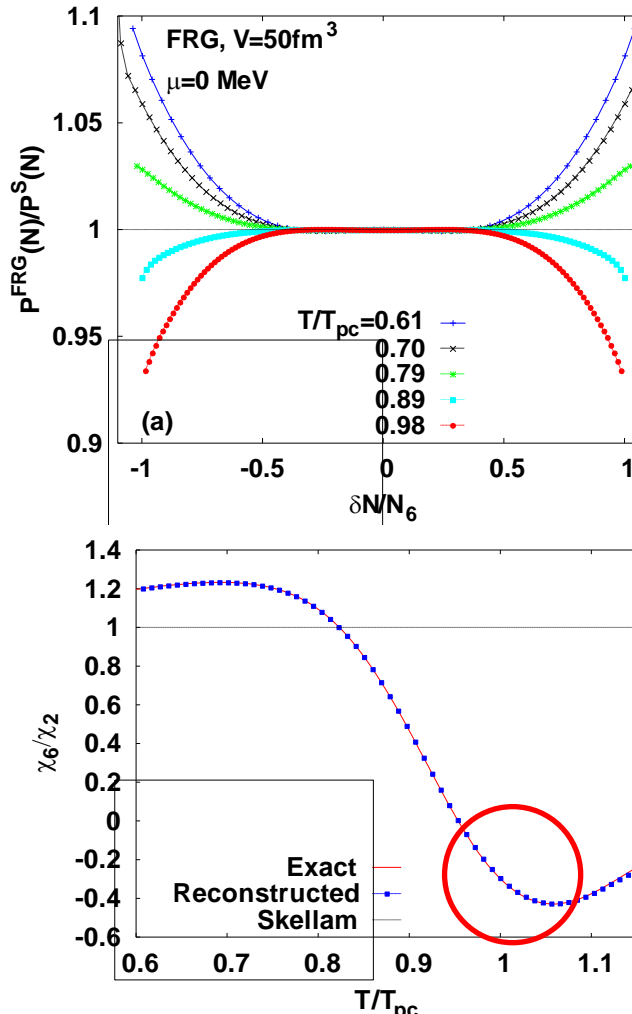


分布の裾は大切



$$\chi_4 \propto \langle (\delta N)^4 \rangle - 3 \langle (\delta N)^2 \rangle^2$$

$$\chi_6 \propto \langle (\delta N)^6 \rangle - 15 \langle (\delta N)^4 \rangle \langle (\delta N)^2 \rangle - 10 \langle (\delta N)^3 \rangle^2 + 30 \langle (\delta N)^2 \rangle^3$$

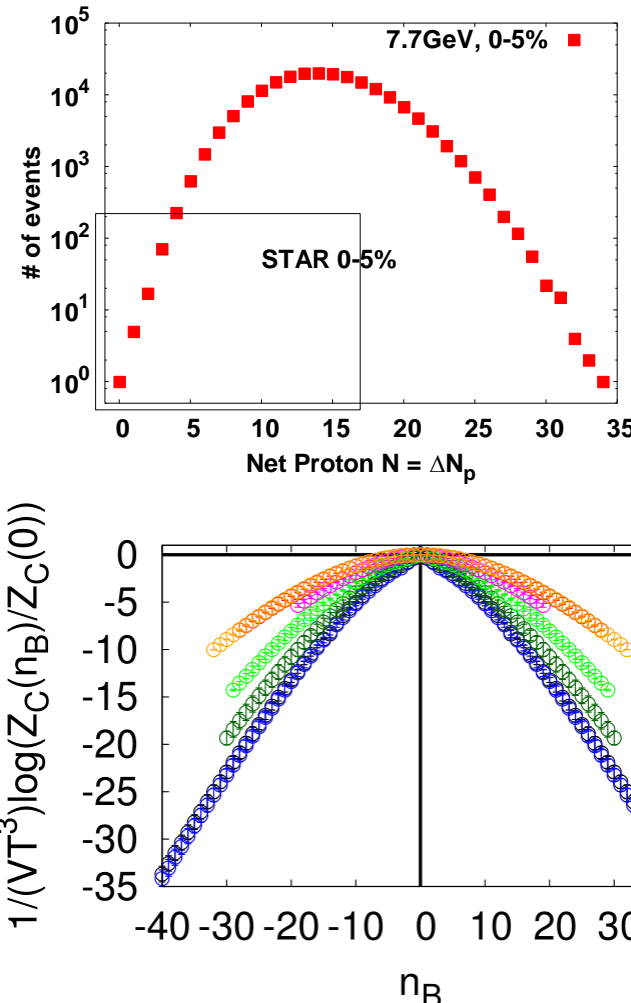


$\chi_6 < 0$
 $O(4)$
crossover

KM et al., PRC88 '13

PLB741 '15

Z(N)の統計的な限界



Nakamura et al., arXiv:1504.04471

分布の裾はたかだか $O(1)$ 事象数

$$\begin{aligned} \mathcal{Z}(\mu) &= \sum_{N=-N^*}^{N^*} Z(N) \lambda^N \\ &\approx \sum_{N=-N_{\max}}^{N_{\max}} Z(N) \lambda^N \end{aligned}$$

 $N_{\max} < N^*$ までしか和を取れないゆらぎへの影響あり
リー・ヤンゼロ点は？

解ける模型でチェック！

ランダム行列模型における分配関数

分配関数

M.Stephanov, PRD73 '06

$$\begin{aligned} \mathcal{Z}(T, N_s, \mu) = & \sum_{k_1, k_2=0}^{N_s/2} \binom{N_s/2}{k_1} \binom{N_s/2}{k_2} (N_s - k_1 - k_2)! {}_1F_1(k_1 + k_2 - N; 1; -m^2 N_s) \\ & \times (-N_s \pi^2 a^2 T^2)^{k_1+k_2} \left(i + \frac{2b}{a\pi N_c} \sinh \frac{\mu}{2T} \right)^{2k_1} \left(i - \frac{2b}{a\pi N_c} \sinh \frac{\mu}{2T} \right)^{2k_2}. \end{aligned}$$

虚数化学ポテンシャル
に対する周期性

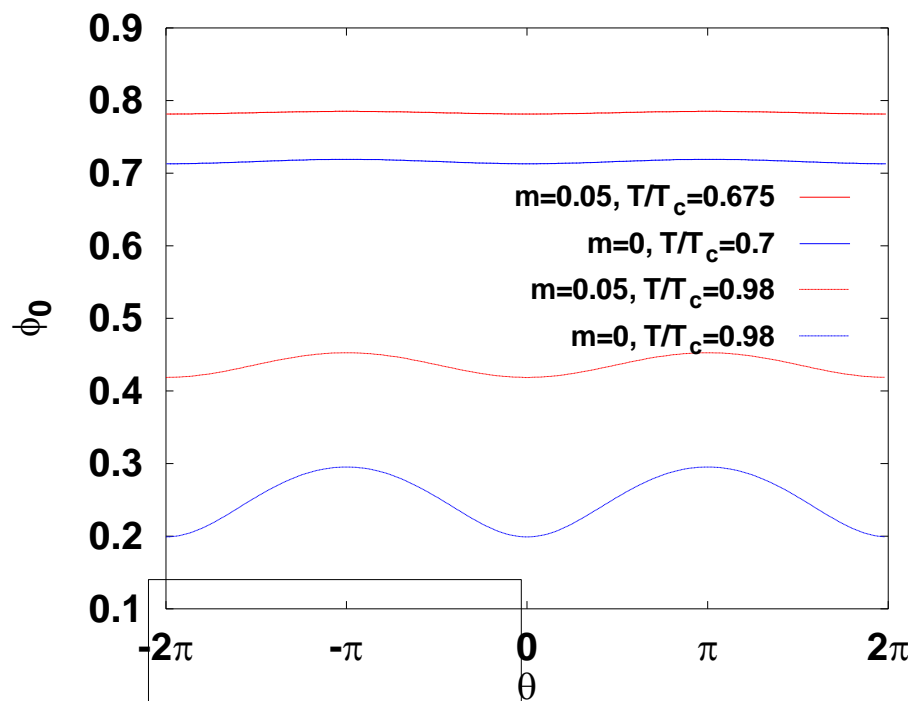
$$\begin{aligned} \frac{\mu}{T} \rightarrow 2 \sinh \frac{\mu}{2T} \\ \mathcal{Z}\left(i\frac{\mu}{T} + 2\pi\right) = \mathcal{Z}\left(i\frac{\mu}{T}\right) \end{aligned}$$

$$Z(N) = \frac{1}{2\pi} \int_{-\pi}^{\pi} d\theta \cos(N\theta) \mathcal{Z}(\mu = -i\theta T)$$

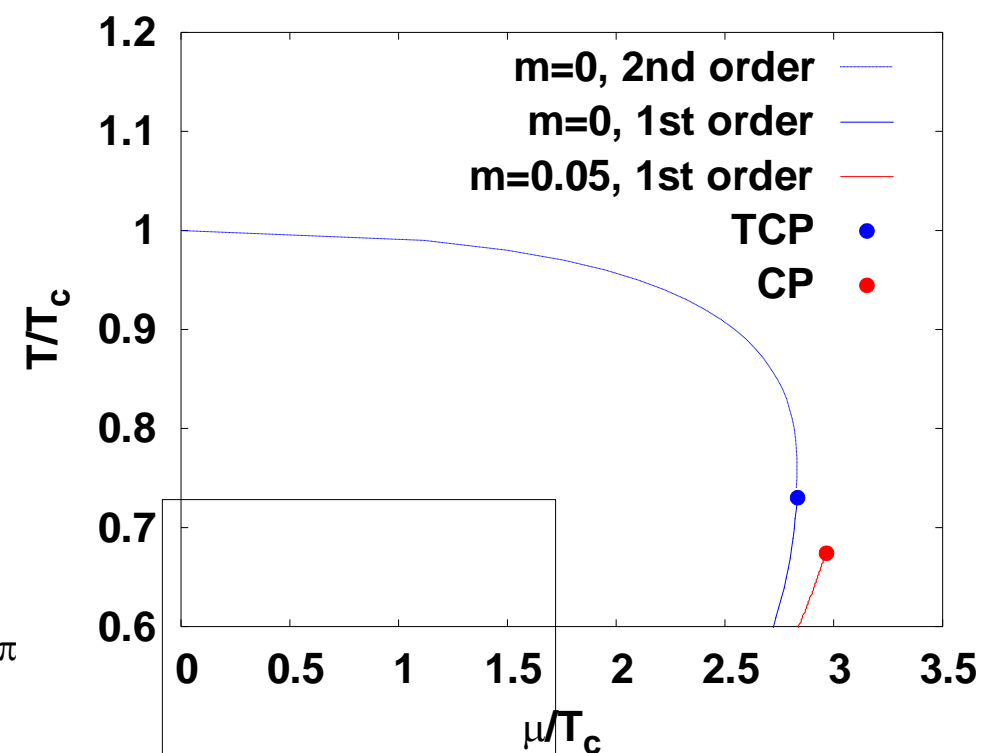
→ $\mathcal{Z}^{\text{tr}}(T, N_s, \mu; N_{\max}) = \sum_{N=-N_{\max}}^{N_{\max}} Z(N) \lambda^N$

裾 ($N > N_{\max}$) をカット
した “分配関数”

相図



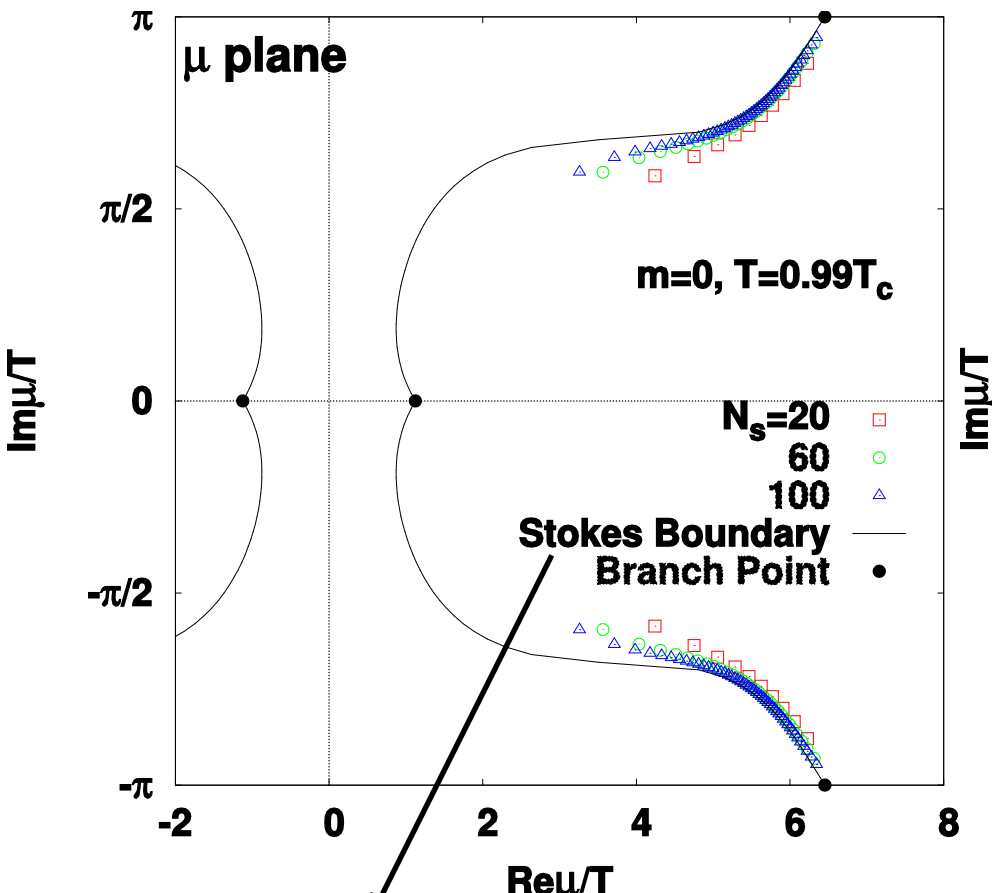
虚数 μ ：周期的，低温では相転移なし



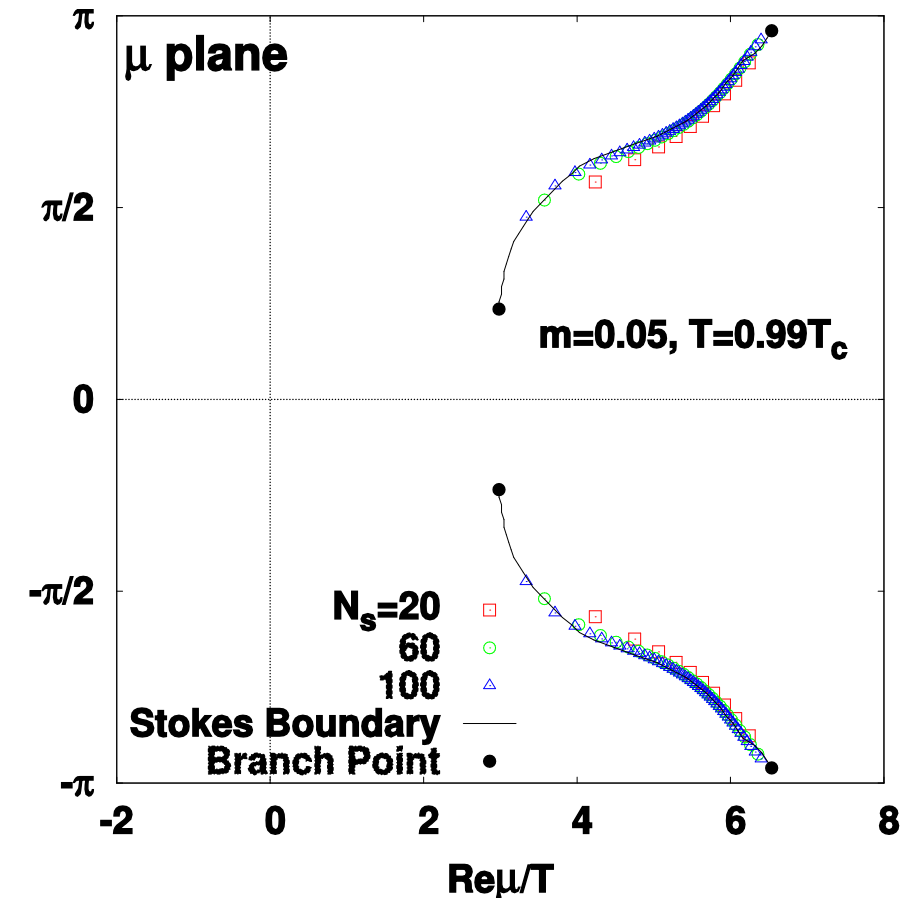
実数 μ ：TCP/CP
相境界は少し変形

リー・ヤンゼロ点分布

$$\mathcal{Z}(T, N_s, \mu) = \mathcal{Z}^{\text{tr}}(T, N_s, \mu; N_{\max} = N_s) = 0$$

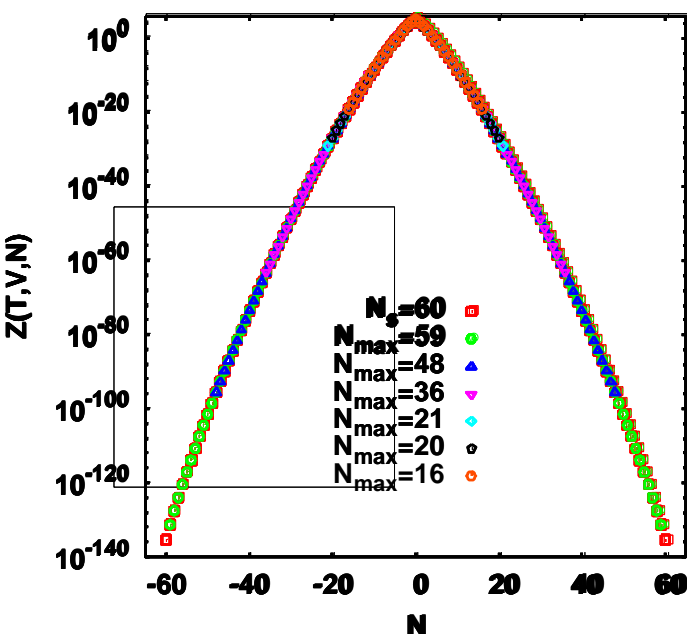


$$\text{Rep}(T, \mu_1) = \text{Rep}(T, \mu_2)$$

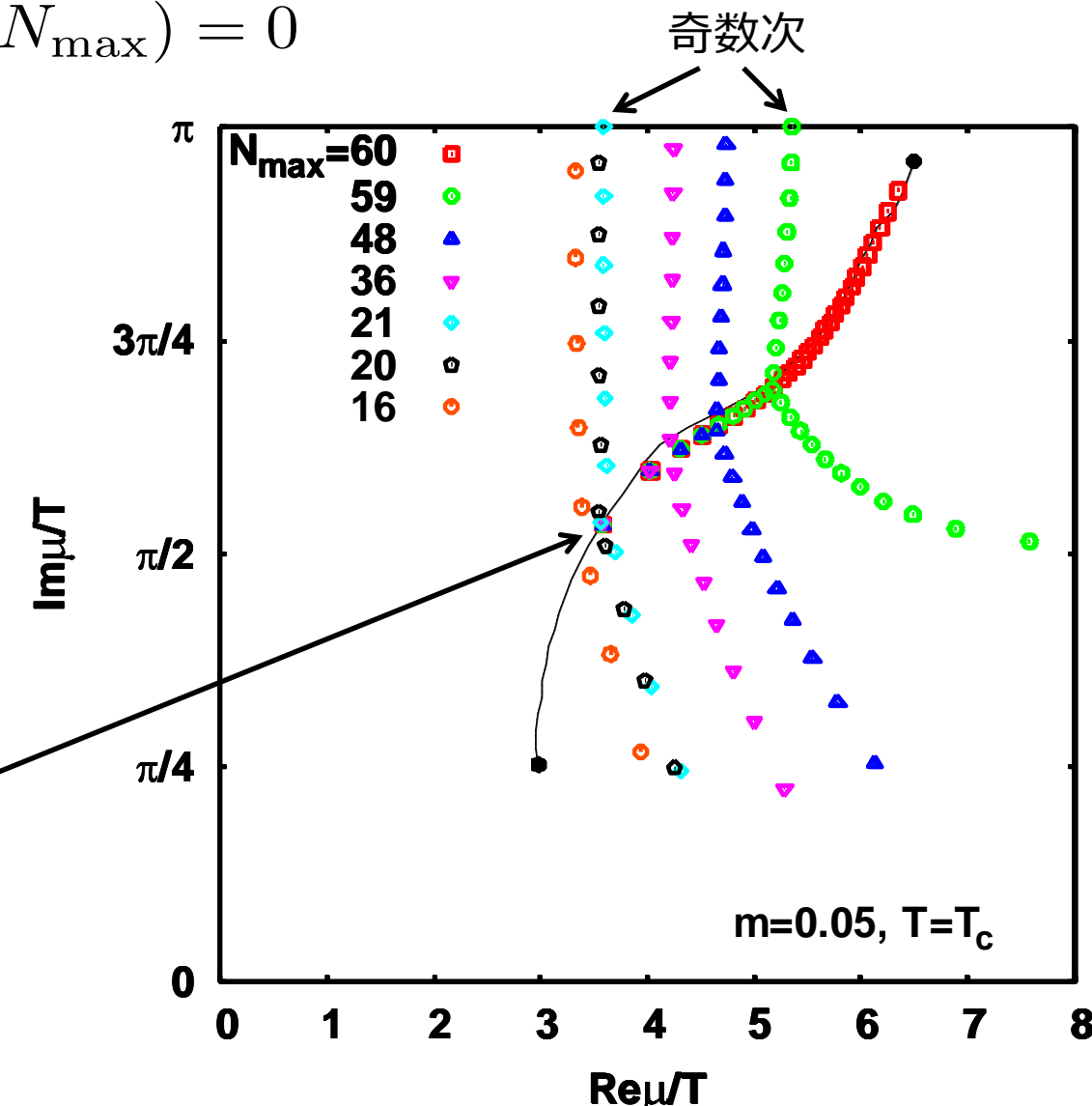


N_{\max} 依存性

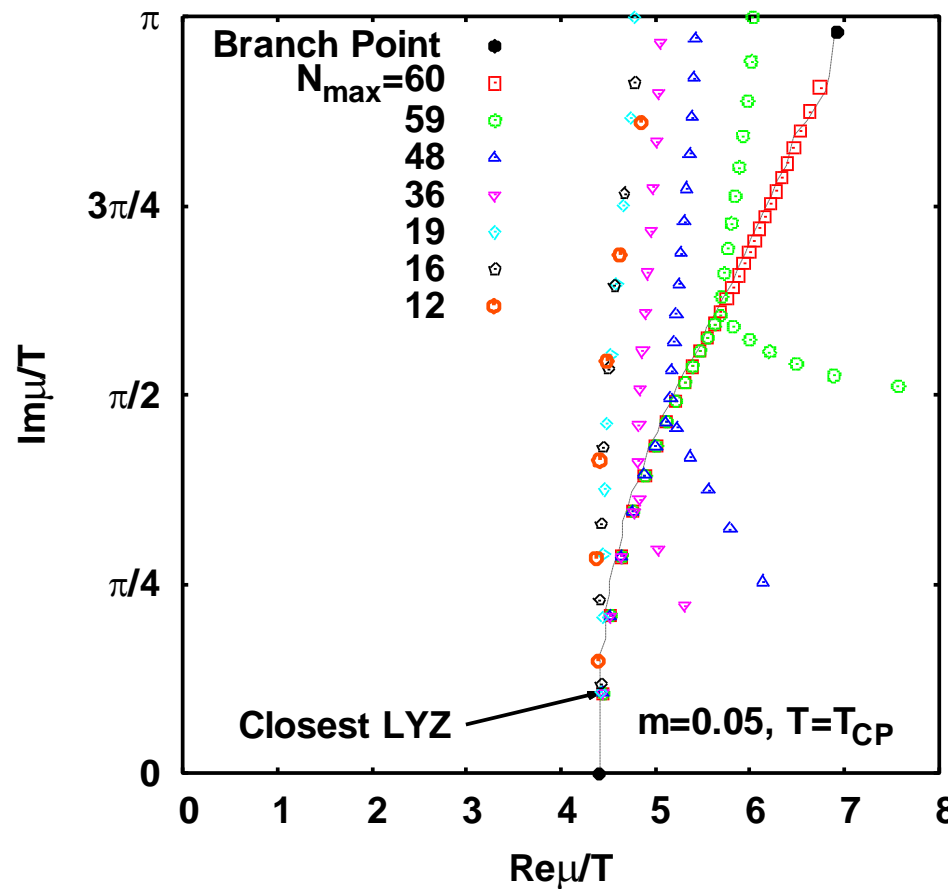
$$\mathcal{Z}^{\text{tr}}(T, N_s, \mu; N_{\max}) = 0$$



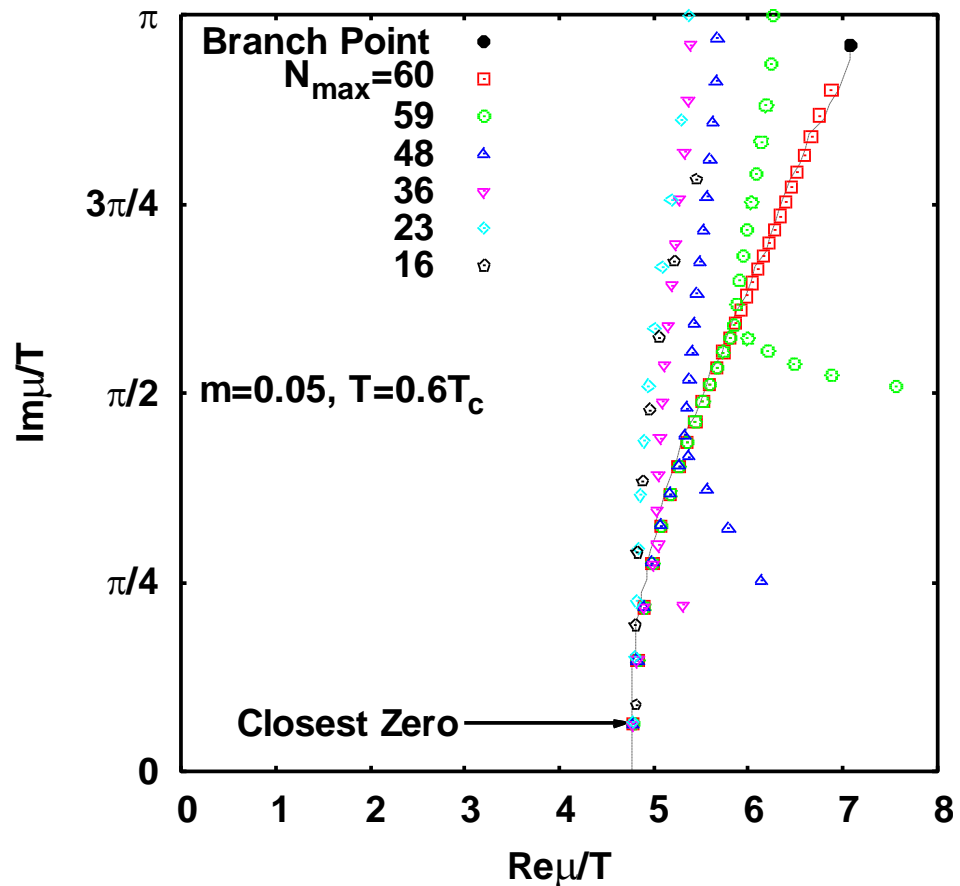
高次項カットに対して安定
実軸に最も近い点
(Edge Singularity)



温度・相転移の次数にはよらない？



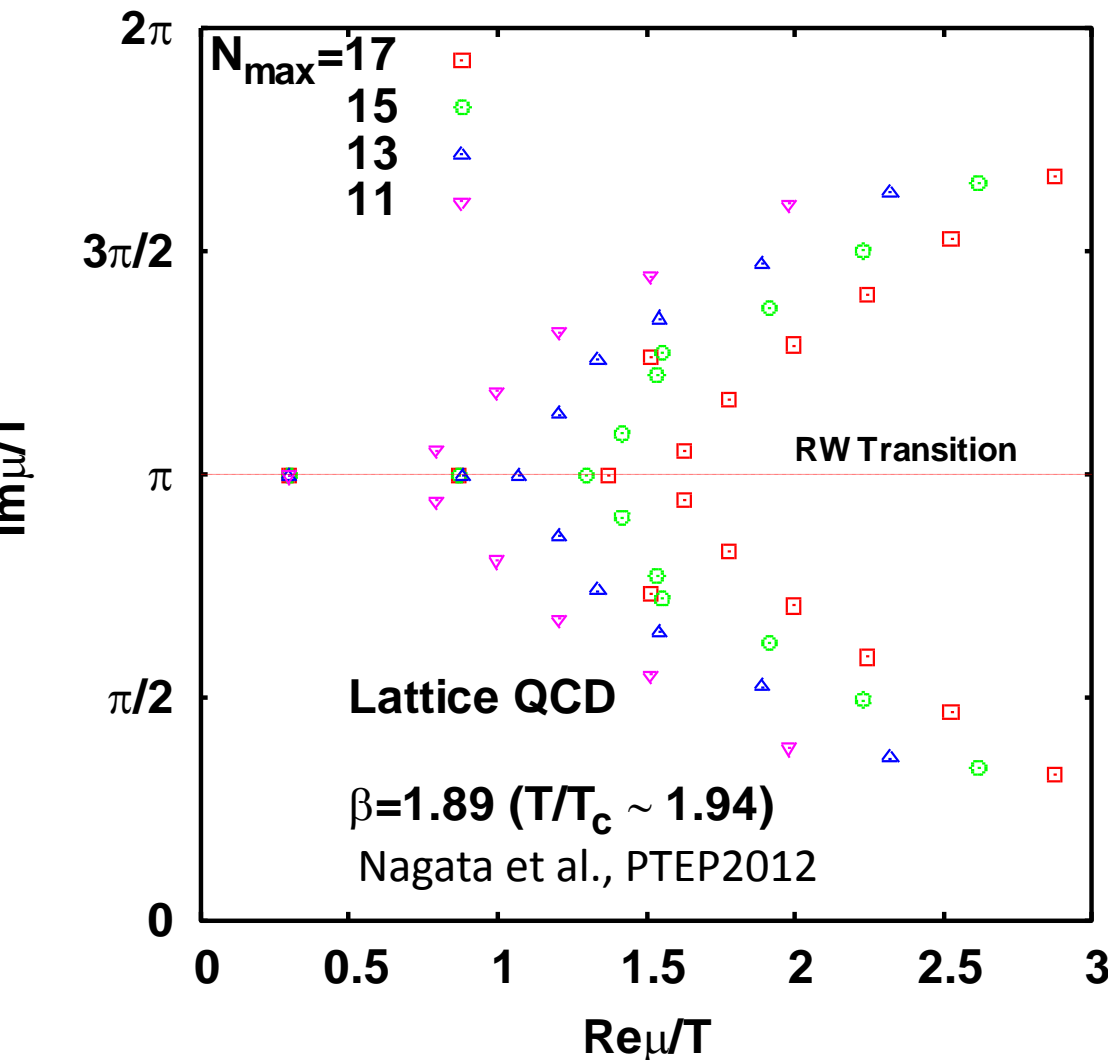
臨界点（実軸上に分岐点）



1次相転移（実軸上にカット）

→ もっとも実軸に近い点が最後まで安定

モデル特有？



格子QCDデータ ($T > T_c$) でも
同じ振る舞い

ゼロ点の分岐：展開の打ち切り
効果であることを示唆

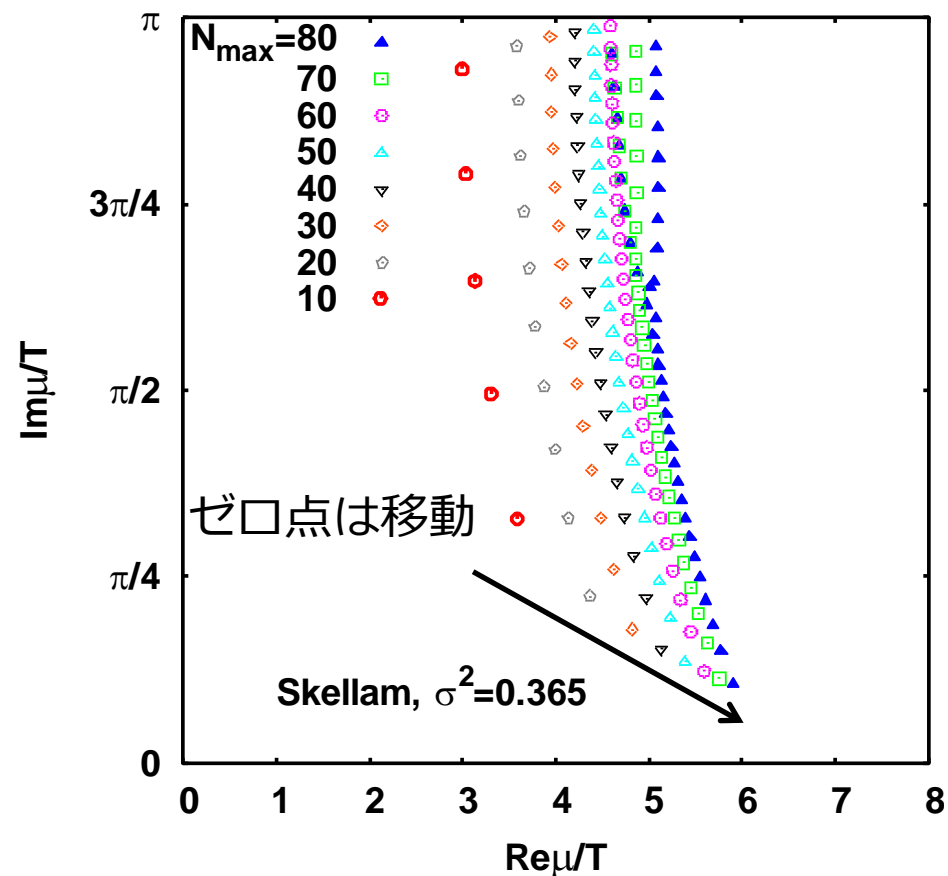
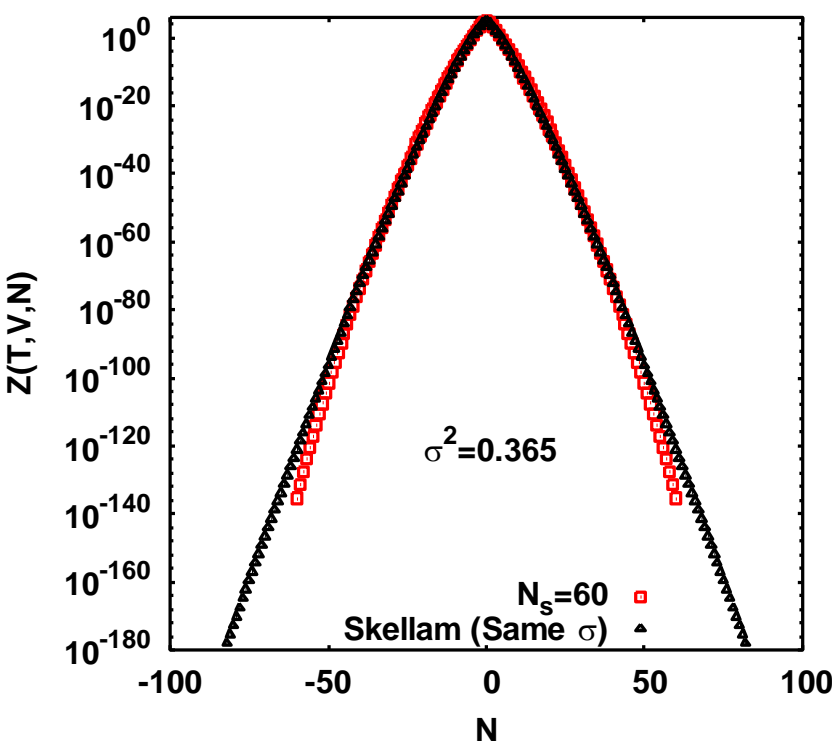
Roberge-Weiss transition
(クオークのフェルミ分布関数
がもつ分岐)

相転移がなかったら？

Reference : Skellam分布 (“Poisson Baseline”)

$$Z(N) = I_N(\sigma^2)$$

$$\mathcal{Z}(\mu) = \exp[\sigma^2 \cosh(\mu/T)]$$



$N_{\max} \rightarrow \infty$ では全てのゼロ点 $\rightarrow \infty$ 遠方

まとめと結論

■ カノニカル分配関数に基づくアプローチ

- λ の高次の項の影響は？
- 実験データからの構成・格子QCD

■ リー・ヤンゼロ点

- 解ける模型（ランダム行列）で比較
- ゼロ点分布は最高次の項だけでも大きく変化
- 実軸にもっとも近いゼロ点は不变
 - インプットを1点削って動くか？ → チェック手法
- 打ち切りが大きくなりすぎると本来の情報が失われる
- モデルや相構造にはよらない性質？

展望

■ N_{\max} はいくつ必要？

● 比較対象：6次キュムラント

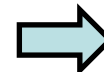
- ↳ $N_s = 60$ RM : $N_{\max} = 6$ for χ_6
- 100 : $N_{\max} = 7$ for χ_6

最も近いゼロ点

**21
30**

$\sigma^2 \sim 0.5$ even for $N_s = 100$

RHIC : $\sigma^2 \sim 10$, LHC : $\sigma^2 \sim 15$



N_{\max} の比較は困難
いずれにせよ現状では
難しい